

УДК 539.3

©2009. Е.Н. Довбня, В.В. Яртемик, И.В. Гурьева

## НАПРЯЖЕННОЕ СОСТОЯНИЕ УПРУГО-ПЛАСТИЧЕСКОЙ ИЗОТРОПНОЙ ОБОЛОЧКИ С ПОВЕРХНОСТНОЙ ТРЕЩИНОЙ С УЧЕТОМ УПРОЧНЕНИЯ МАТЕРИАЛА

Решена задача определения напряженного состояния упруго-пластической изотропной оболочки произвольной кривизны с поверхностной трещиной с учетом упрочнения материала. Получена система сингулярных интегральных уравнений, которая решена численно методом механических квадратур. Исследовано влияние упрочнения материала на основные характеристики напряженного состояния.

**Введение.** Упруго-пластическая изотропная оболочка с трещиной рассмотрена в работах [5, 6]. При этом использовалась модель Леонова-Панасюка-Дагдейла ( $\delta_c$ -модель) и предполагалось, что распределение напряжений равномерно по всей длине зоны пластичности и равно пределу текучести для квазихрупкого материала.

Однако в ряде случаев материал в зоне пластичности может быть деформирован за предел пластичности, что характерно для упрочняющихся материалов [2, 3, 8, 9]. Современные прикладные проблемы механики деформационного упрочнения материалов рассмотрены в статье [1].

В работе [6] исследована задача о напряженном состоянии пологой изотропной цилиндрической и сферической оболочек со сквозной трещиной, для решения которой использовалась  $\delta_c$ -модель, обобщенная на материалы с упрочнением [4]. Ниже рассмотрена аналогичная задача для изотропной оболочки произвольной гауссовой кривизны с поверхностной трещиной.

**Постановка задачи.** Рассмотрим пологую изотропную оболочку произвольной кривизны постоянной толщины  $h$ , на внешней стороне которой расположена поверхностная трещина длиной  $2l_0$  вдоль одной из линий главных кривизн. Глубина трещины  $d$ ,  $d_1 = h - d$  (рис.1).

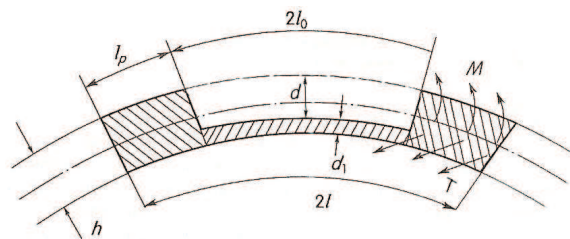


Рис. 1. Поверхностная трещина

Размеры трещины велики по сравнению с толщиной оболочки, но малы по сравнению с другими её линейными размерами, что позволяет рассматривать задачу о

равновесии тонкой оболочки с помощью двумерной теории оболочек. В рамках этой теории трещины моделируются как математические разрезы срединной поверхности.

Оболочка отнесена к системе ортогональных координат  $(x, y, z)$ , выбранной таким образом, что координаты  $x$  и  $y$  ориентированы вдоль линий главных кривизн срединной поверхности, а координата  $z$  направлена по нормали к ней. Будем считать, что оболочка и берега трещины нагружены симметричными относительно линии трещины усилиями и моментами. В процессе деформации оболочки берега трещины не контактируют между собой.

Размеры трещины, уровень внешней нагрузки и свойства материала считаем такими, что в окрестности трещины по всей глубине узкой полосой развиваются пластические деформации. Далее, в соответствии с  $\delta_c$ -моделью, зоны пластических деформаций моделируем линиями разрыва упругих перемещений и углов поворота на продолжении контура трещины, а реакцию материала пластической зоны считаем распределенной по линейному закону [4, 6]:

$$T(s) = Pb(s), M(s) = Hb(s),$$

$$b(s) = (1 - m^*) \frac{|s| - \tau^*}{2(1 - \tau^*)} + \frac{m^*}{2},$$

где  $m^* = \frac{\sigma_B}{\sigma_\tau}$ ,  $\sigma_B$  – граница прочности материала,  $s$  – координата вдоль которой расположена трещина.  $P$  и  $H$  – неизвестные постоянные, удовлетворяющие условию пластичности Треска:

$$\frac{P}{h\sigma_\tau} + \frac{6|H|}{h^2\sigma_\tau} = 1,$$

или пластического шарнира:

$$\left( \frac{P}{h\sigma_\tau} \right)^2 + \frac{2|H|}{h^2\sigma_\tau} = 1.$$

Также считаем, что на продолжении трещины в глубину, то есть в области  $x \in (-l_0; l_0)$ ,  $\gamma \in [-\frac{h}{2}; \frac{h}{2} - d]$  действуют постоянные напряжения  $\sigma'_\tau = \frac{\sigma_B + \sigma_\tau}{2}$ .

Таким образом, в рамках  $\delta_c$ -модели вместо трещины длиной  $2l_0$  вводится новая фиктивная трещина неизвестной длины  $2l$ , где  $l = l_0 + l_p$ , на берегах которой выполняются условия:

$$T_2(ls) = \begin{cases} T(ls) - T_2^*(ls), & \tau^* \leq |s| \leq 1 \\ T^l - T_2^*(ls), & |s| \leq \tau^* \end{cases}$$

$$M_2(ls) = \begin{cases} M(ls) - M_2^*(ls), & \tau^* \leq |s| \leq 1 \\ M^l - M_2^*(ls), & |s| \leq \tau^*, \end{cases}$$

где величинами со звездочкой обозначены компоненты общего напряженного состояния,  $T_2^*(ls)$  и  $M_2^*(ls)$  – усилие и момент на линии трещины в оболочке без трещины,  $l_p$  – длина пластической зоны,  $\tau^* = \frac{l_0}{l}$ .

$T^l$  и  $M^l$  – усилие и момент, являющиеся реакцией материала на разрыв внутренних связей под трещиной. Согласно нашим предположениям о напряжениях в этих зонах, они определяются по формулам:

$$T^l = \int_{-\frac{h}{2}}^{d_1 - \frac{h}{2}} \sigma'_\tau dz = \sigma'_\tau d_1, \quad M^l = \int_{-\frac{h}{2}}^{d_1 - \frac{h}{2}} \sigma'_\tau z dz = -\frac{\sigma'_\tau}{2} d_1 (h - d_1).$$

**Построение системы сингулярных интегральных уравнений.** В работе [7] построена система сингулярных интегральных уравнений (СИУ) для решения упругой задачи о напряженном состоянии оболочки произвольной кривизны с трещиной:

$$\begin{cases} \int_{-1}^1 K_{11}(x-t)\psi_1(t)dt + \int_{-1}^1 K_{13}(x-t)\psi_3(t)dt = -\pi(T_2(x) - T_2^*) \\ \int_{-1}^1 K_{31}(x-t)\psi_1(t)dt + \int_{-1}^1 K_{33}(x-t)\psi_3(t)dt = -\pi c^2 R_2(M_2(x) - M_2^*). \end{cases} \quad (1)$$

Ядра системы (1) приведены в работе [7].

$$\psi_1 = \frac{Eh}{4l} \frac{d[v]}{dt}, \quad \psi_3 = \frac{D(1-v)(3+v)}{4l} R_2 c^2 \frac{d[\theta_2]}{dt}.$$

Поскольку в нашей задаче правые части системы – разрывные функции, численное решение с помощью метода механических квадратур или любого другого приближенного метода затруднительно. Представим неизвестные функции в виде:

$$\psi_1(t) = g_1(t) + h_1(t) = g_1(t) + Ph_n(t) - T^l h_s(t),$$

$$\psi_3(t) = g_3(t) + h_3(t) = g_3(t) + c^2 R_2 H h_n(t) - c^2 R_2 M^l h_s(t),$$

где  $h_1(t)$ ,  $h_3(t)$  – решения уравнений:

$$\int_{-1}^1 \frac{h_i(t)}{t-x} dt = \pi f_i(x), \quad f_i(x) = \begin{cases} -a_i + b(x), & \tau^* \leq |s| \leq 1 \\ -a_i, & |s| \leq \tau^* \end{cases}, \quad i = 1, 3. \quad (2)$$

Константы  $a_1$  и  $a_3$  определяются из условий существования решений уравнений (2) по формулам:

$$a_1 = \frac{P}{T_2^*} a' + \frac{T^l}{T_2^*} \frac{2}{\pi} \arcsin(\tau^*), \quad (3)$$

$$a_3 = \frac{c^2 R_2 H}{T_2^*} a' + \frac{c^2 R_2 M^l}{T_2^*} \frac{2}{\pi} \arcsin(\tau^*),$$

где

$$a' = \frac{1 - m^*}{\pi(1 - \tau^*)} \sqrt{1 - (\tau^*)^2} + \frac{m^* + 1 - 2\tau^*}{\pi(1 - \tau^*)} \arccos(\tau^*).$$

Формулы (3) – трансцендентные уравнения, которые можно решить относительно  $\tau^*$  численными методами при конкретных значениях  $a$ .

Решение уравнений (2) соответствует изотропной пластине с поверхностной трещиной с учетом упрочнения материала и имеет вид:

$$\begin{aligned} \psi_1(t) &= \left( -\frac{T^l}{\pi} + \frac{P}{\pi} \frac{m^* + 1 - 2\tau^*}{2(1 - \tau^*)} \right) \ln \left| \frac{\tau^* - t}{\tau^* + t} \cdot \frac{1 + t\tau^* + \sqrt{(1 - (\tau^*)^2)(1 - t^2)}}{1 - t\tau^* + \sqrt{(1 - (\tau^*)^2)(1 - t^2)}} \right| + \\ &+ \frac{Pt}{\pi} \frac{m^* - 1}{2(1 - \tau^*)} \ln \left| \frac{(1 + t\tau^* + \sqrt{(1 - (\tau^*)^2)(1 - t^2)})(1 - t\tau^* + \sqrt{(1 - (\tau^*)^2)(1 - t^2)})}{(\tau^* - t)(\tau^* + t)} \right| \\ \psi_3(t) &= \left( -\frac{M^l}{\pi} + \frac{H}{\pi} \frac{m^* + 1 - 2\tau^*}{2(1 - \tau^*)} \right) \ln \left| \frac{\tau^* - t}{\tau^* + t} \cdot \frac{1 + t\tau^* + \sqrt{(1 - (\tau^*)^2)(1 - t^2)}}{1 - t\tau^* + \sqrt{(1 - (\tau^*)^2)(1 - t^2)}} \right| + \\ &+ \frac{Ht}{\pi} \frac{m^* - 1}{2(1 - \tau^*)} \ln \left| \frac{(1 + t\tau^* + \sqrt{(1 - (\tau^*)^2)(1 - t^2)})(1 - t\tau^* + \sqrt{(1 - (\tau^*)^2)(1 - t^2)})}{(\tau^* - t)(\tau^* + t)} \right|. \end{aligned}$$

Перепишем систему (1) относительно искомых функций  $\psi_1(t)$  и  $\psi_3(t)$ , разделив оба её уравнения на  $T_2^*$  (учитывая то, что  $M_2^* = 0$  по постановке задачи). Итак, теперь  $\psi_1(t)$ ,  $\psi_3(t)$  и константы  $a_1$ ,  $a_3$  будут иметь вид:

$$\begin{aligned} \psi_1(t) &= g_1(t) + th_n(t) - t^l h_s(t), \quad \psi_3(t) = g_3(t) + mh_n(t) - m^l h_s(t), \\ a_1 &= ta' + t^l \frac{2}{\pi} \arcsin(\tau^*), \quad a_3 = ma' + m^l \frac{2}{\pi} \arcsin(\tau^*), \end{aligned}$$

где  $t = \frac{P}{T_2^*}$ ,  $t^l = \frac{T^l}{T_2^*}$ ,  $m = \frac{c^2 R_2 H}{T_2^*}$ ,  $m^l = \frac{c^2 R_2 M^l}{T_2^*}$

$$\begin{aligned} h_s(t) &= \frac{1}{\pi} \ln \left| \frac{\tau^* - t}{\tau^* + t} \cdot \frac{1 + t\tau^* + \sqrt{(1 - (\tau^*)^2)(1 - t^2)}}{1 - t\tau^* + \sqrt{(1 - (\tau^*)^2)(1 - t^2)}} \right| \\ h_n(t) &= \frac{m^* + 1 - 2\tau^*}{2(1 - \tau^*)} h_s(t) + \frac{t}{\pi} \frac{m^* - 1}{2(1 - \tau^*)} \ln \left| \frac{(1 - (t\tau^* + \sqrt{(1 - (\tau^*)^2)(1 - t^2)}))^2}{(\tau^* - t)(\tau^* + t)} \right|. \end{aligned}$$

Получим систему СИУ (4) с непрерывными правыми частями относительно неизвестных  $t$ ,  $m$ ,  $g_1(t)$ ,  $g_3(t)$ , которую будем сводить к системе линейных алгебраических уравнений методом механических квадратур относительно значений неизвестных функций в определенных точках (узлах интерполяционного полинома). Решив её и построив интерполяционный полином, мы сможем найти значение подынтегральных функций в любых точках промежутка интегрирования, включая и вершины

трещины.

$$\left\{ \begin{aligned} & \int_{-1}^1 K_{11}(x-t)g_1(t)dt + t \left[ \int_{-1}^1 K_{11}^r(x-t)h_n(t)dt + \pi a' \right] + \\ & + \int_{-1}^1 K_{13}(x-t)g_3(t)dt + m \int_{-1}^1 K_{13}(x-t)h_n(t)dt = \\ & = \pi + t^l \left[ \int_{-1}^1 K_{11}^r(x-t)h_s(t)dt - 2 \arcsin(\tau^*) \right] + m^l \int_{-1}^1 K_{13}(x-t)h_s(t)dt \\ & \int_{-1}^1 K_{31}(x-t)g_1(t)dt + t \int_{-1}^1 K_{31}(x-t)h_n(t)dt + \\ & + \int_{-1}^1 K_{33}(x-t)g_3(t)dt + m \left[ \int_{-1}^1 K_{33}^r(x-t)h_n(t)dt + \pi a' \right] = \\ & = t^l \int_{-1}^1 K_{31}(x-t)h_s(t)dt + m^l \left[ \int_{-1}^1 K_{33}^r(x-t)h_s(t)dt - 2 \arcsin(\tau^*) \right]. \end{aligned} \right. \quad (4)$$

**Численное решение системы СИУ.** Каждое уравнение СИУ (4) методом механических квадратур сводится к системе  $n + 1$  уравнения, каждое из которых соответствует значению интегрального уравнения в точках  $x_m = \cos\left(\frac{\pi(2m-1)}{2(n+1)}\right)$ ,  $m = \overline{1, n+1}$  (внешние узлы),  $y_k = \cos\left(\frac{k\pi}{n+1}\right)$ ,  $k = \overline{1, n}$  (внутренние узлы).

Схематически представим матрицу полученной системы следующим образом:

$A(x_1, y_1) \dots A(x_1, y_n)$	$B(x_1)$	$C(x_1, y_1) \dots C(x_1, y_n)$	$D(x_1)$	$P(x_1)$
$\vdots$	$\vdots$	$\vdots$	$\vdots$	$\vdots$
$A(x_{n+1}, y_1) \dots A(x_{n+1}, y_n)$	$B(x_{n+1})$	$C(x_{n+1}, y_1) \dots C(x_{n+1}, y_n)$	$D(x_{n+1})$	$P(x_{n+1})$
$E(x_1, y_1) \dots E(x_1, y_n)$	$F(x_1)$	$G(x_1, y_1) \dots G(x_1, y_n)$	$H(x_1)$	$R(x_1)$
$\vdots$	$\vdots$	$\vdots$	$\vdots$	$\vdots$
$E(x_{n+1}, y_1) \dots E(x_{n+1}, y_n)$	$F(x_{n+1})$	$G(x_{n+1}, y_1) \dots G(x_{n+1}, y_n)$	$H(x_{n+1})$	$R(x_{n+1})$

где

$$\begin{aligned} A(x_m, y_k) &= \frac{1}{n+1} K_{11}(x_m - y_k)(1 - y_k^2), \\ B(x_m) &= \frac{1}{n+1} \sum_{k=1}^n K_{11}^r(x_m - y_k)h(y_k)\sqrt{1 - y_k^2} + a', \\ C(x_m, y_k) &= \frac{1}{n+1} K_{13}(x_m - y_k)(1 - y_k^2), \\ D(x_m) &= \frac{1}{n+1} \sum_{k=1}^n K_{13}(x_m - y_k)h(y_k)\sqrt{1 - y_k^2}, \\ E(x_m, y_k) &= \frac{1}{n+1} K_{31}(x_m - y_k)(1 - y_k^2), \end{aligned}$$

$$\begin{aligned}
 F(x_m) &= \frac{1}{n+1} \sum_{k=1}^n K_{31}(x_m - y_k) h(y_k) \sqrt{1 - y_k^2}, \\
 G(x_m, y_k) &= \frac{1}{n+1} K_{33}(x_m - y_k) (1 - y_k^2), \\
 H(x_m) &= \frac{1}{n+1} \sum_{k=1}^n K_{33}^r(x_m - y_k) h(y_k) \sqrt{1 - y_k^2} + a', \\
 P(x_m) &= 1 + t^l \left[ \frac{1}{n+1} \sum_{k=1}^n K_{11}^r(x_m - y_k) h_s(y_k) \sqrt{1 - y_k^2} - \frac{2}{\pi} \arcsin(\tau^*) \right] + \\
 &\quad + \frac{m^l}{n+1} \sum_{k=1}^n K_{13}(x_m - y_k) h_s(y_k) \sqrt{1 - y_k^2} \\
 R(x_m) &= \frac{t^l}{n+1} \sum_{k=1}^n K_{31}(x_m - y_k) h_s(y_k) \sqrt{1 - y_k^2} + \\
 &\quad + m^l \left[ \frac{1}{n+1} \sum_{k=1}^n K_{33}^r(x_m - y_k) h_s(y_k) \sqrt{1 - y_k^2} - \frac{2}{\pi} \arcsin(\tau^*) \right].
 \end{aligned}$$

Система совместна и не вырождена, для её решения можно применить метод Гаусса.

Решаем систему СИУ методом последовательных приближений. В качестве нулевого приближения выбираем значение  $\tau^*$ , соответствующее аналогичной задаче для тонкой пластины. Если погрешность при проверке условия пластичности превышает требуемую точность ( $\varepsilon = 10^{-5}$ ), уточняем значение  $\tau^*$ , решаем задачу в новом приближении.

**Результаты численных исследований.** На рисунке 2 изображена зависимость размера зоны пластичности  $\tau^* = \frac{l_0}{t}$  от относительного уровня внешней нагрузки  $n_0 = \frac{\sigma_0}{\sigma_\tau}$  для цилиндрической оболочки с поверхностной трещиной при различных значениях параметра  $m^* = 1; 1,5; 2$ , характеризующего упрочнение материала, при этом  $\frac{l_0}{R_2} = 0,2$ ,  $\frac{d_1}{h} = 0,1$ . Заметим, что если в выражение для  $b(x)$  подставить значение  $m^* = 1$ , получим случай идеально упруго-пластического материала.

На рисунке 3 изображена зависимость параметра  $\tau^*$  от кривизны оболочки  $\lambda$ , при этом  $\frac{l_0}{R_2} = 0,05$ ,  $\frac{d_1}{h} = 0,1$ ,  $n_0 = 0,3$  для различных значений  $m^* = 1; 1,5; 2$ .

На рисунке 4 изображена зависимость  $\tau^*$  от  $\frac{d_1}{h}$  для цилиндрической оболочки при  $\frac{l_0}{R_2} = 0,05$ ,  $n_0 = 0,6$  при различных значениях  $m^* = 1; 1,5; 2$ .

Исследовано влияние уровня внешней нагрузки, глубины трещины и кривизны оболочки на размер пластической зоны для идеально упруго-пластического ( $m^* = 1$ ) и упрочняющегося ( $m^* = 1,5; 2$ ) материалов. Как видим, вследствие упрочнения материала, длина пластической зоны уменьшается.

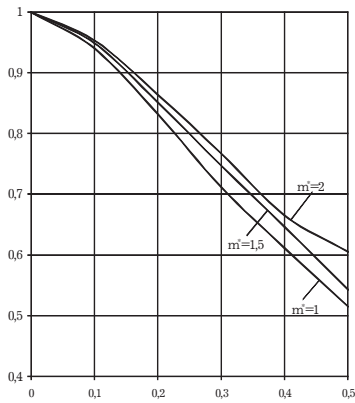


Рис. 2. Зависимость  $\tau_*$  от  $n_0$

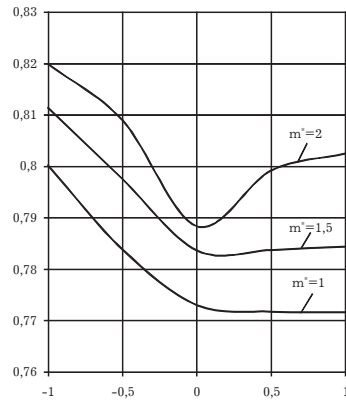


Рис. 3. Зависимость  $\tau_*$  от  $\lambda$

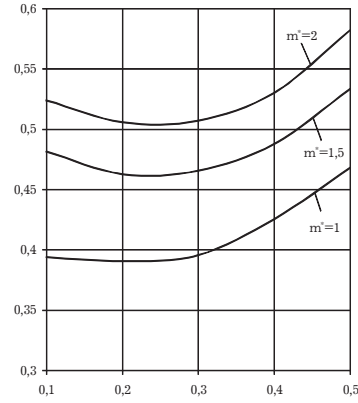


Рис. 4. Зависимость  $\tau_*$  от  $\frac{d_1}{h}$

1. Бастун В.Н. Прикладные проблемы механики процессов деформационного упрочнения конструкционных металлических материалов // Прикладная механика. – 2005. – Т.41. – №10. – С.12-51.
2. Данилов В.Л. К формулировке закона деформационного упрочнения // Известия АН СССР, Механика твердого тела. – 1971. – №6. – С.146-150.
3. Ишлмский А.Ю. Общая теория пластичности с линейным упрочнением // Украинский математический журнал. – 1954. – 6, №3. – С.314-317.
4. Каминский А.А. Исследование роста усталостных трещин в материалах с упрочнением // Прикладная механика. – 1984. – 20, №4. – С.54-60.
5. Корохина О.А. Напряжено-деформированный стан пружно-пластичной оболочки с трещиной : дис. на здоб. наук. ступ. канд. фіз.-мат. наук : 01.02.04 / Наук. кер. К.М.Довбня. – Донецьк : ДонНУ, 2005. – С.133-158.
6. Кушнір Р.М. Пружний та пружно-пластичний граничний стан оболонок з дефектами // Львів : НАНУ, Інститут прикладних проблем механіки і математики ім. Я.С.Підстригача. Вид-во "Сполом". – 2003. – 320с.
7. Шевченко В.П. Ортоотропные оболочки с трещинами (разрезами) // Механика композитов : в 12т. – Т.7. – К.: А.С.К., 1998. – С.212-249.
8. Golub V.P. An approach to constructing a rheological model of a strain-hardening medium // Int. Appl. Mech. – 2004. – 40, №7. – P.776-784.
9. Khan A. On the evolution of isotropic and kinematic hardening with finite plastic deformation. Part 1 // Int. J. O. Plasticity. – 1999. 15. – P.1265-1275.